

愛知工業大学 (正) 塚村哲夫 (正) 成田国朗 (正) 大根義男

1. 考え方

フィルダムの地盤時の安定性の検討に当っては堤体の動的強度が必要となるが、それが粘性土からなる場合その強度Kに関する定義が明確でない。これは、粘性土では砂質土のように液状化に基づく強度低下のようす現象が現われないこと、あるいは繰返し載荷中に発生する変形量は除外され大きくなるので明瞭な破壊現象が現われにくくないこと等によるものと考えられる。このことから粘性土の動的破壊基準として、過去、静的試験の破壊ひずみを基準とする方法¹⁾、動的試験において繰りかけが5%K達成の場合とする方法²⁾、等が提案されていいる。本文においてはこの点を明らかにするため、振動三軸試験機を用いて粘性土の動的強度試験を行ない破壊強度Kについて検討を加えておる。

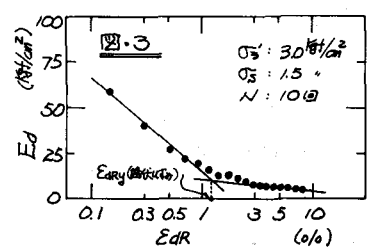
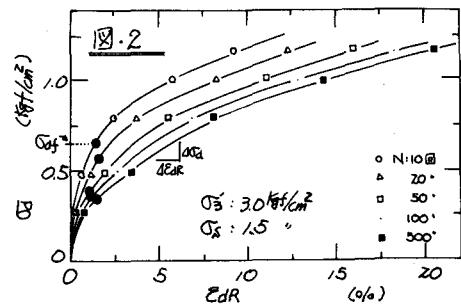
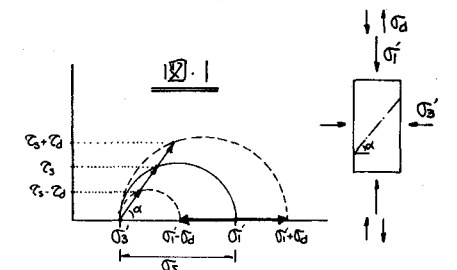
2. 実験方法

堤体内の応力状態は静的時に σ_1' 、 $\sigma_2' = \sigma_3'$ の主応力で圧密されており、地盤時にはより繰返し応力が作用することになる。これを振動三軸試験機で再現させるために図1の応力状態で実験を行なはねばよい。従って供試体に対する所定の主応力比で異なる圧密を行ない後繰返し応力を σ_1' 付加するこことになる。しかし、今日は $\sigma_1' = 1.0$, $\sigma_2' = \sigma_3' = 5.0$ 倍³⁾で24時間等方圧密した後繰り返し排水状態で所定の大きさの σ_1' (各回の間に繰り返し種類に変化)まで上げてこの状態で30分ほど圧密して行なう。繰返し載荷時は非排水状態とし、繰返し応力 σ_1' は応力制御で1Hzの正弦波とし振幅は5種類以上変化させた。実験に用いた試料は三重県山村ダム近くで採取したシルト質ロームであり、 $LL = 40\%$, $PL = 18\%$, $\eta_T = 2.69$, 圧密前の $w = 26.3\%$, $e = 0.975$, $S_r = 73\%$ である。

3. 実験結果

図2では $\sigma_3' = 3.0$ 倍 $/cm^2$, 初期軸差応力 $\sigma_2' = 1.5$ 倍 $/cm^2$ の結果を繰返し応力 σ_1' とこの σ_3' の載荷によって発生した残留動ひずみ E_{DR} の関係で載荷回数をパラメータとして示したものである。図より、 E_{DR} は当然ながら同じ載荷回数において σ_1' が大きくなるほど、また同じ σ_1' において載荷が進むほどほど大きくなることがわかる。さらには σ_1' の最大値は少くとも E_{DR} が15%以上の位置にあると確定される。これで、実際の設計面からフィルダムの地盤時の安定性を議論する場合、供試体が発揮しえる最大応力以下であってもこの実験結果のよう大きな変形が生ずれば水理構造物としての機能が失せかねることになる。

図3は、図2の応力へひずみ曲線の接線こう配 E_d ($E_d = 100\% / E_{DR}$)



と δEDR の関係を示したものである。図から、 δEDR は $\delta \sigma$ の増加に伴って減少しまた、この減少の過程において変曲点の存在が認められる。そこで、この変曲点は、 δEDR が残留変形に対する変形係数である。

これから、残留変形に対する降伏点であると考えられる。従つて、 δEDR 曲線の変曲点（図2Kにおいて2本の直線の接続部）に対する残留ひずみは一種の動的降伏ひずみ δEDR_y であり、この δEDR_y に対する繰返し応力は動的降伏応力である（図29・印）。今回はこの動的降伏応力を動的強度と定義しておき、この結果を図4および図5に示す。

図4は、 $\delta \sigma_0 \sim N \sim \delta \sigma_f$ 関係を示しており、 $\delta \sigma_f$ が小さいほど $\delta \sigma_0$ が大きくなっている。図5は、 $N=20$ 回に対する $\delta \sigma_0 \sim \delta \sigma_f \sim \delta \sigma'_f$ の関係であり、・印は前述の定義に従つて求めた結果であり、また破壊は $\delta EDR = 1.3$ および 5% のときを破壊として場合の結果である。図より、本破壊基準では残留ひずみは $\delta \sigma$ に関係なく、1~3% の範囲にあることがわかる。なお、図Kにおいて45度の直線より上では繰返せん断応力の方向が逆転 ($\delta \sigma > \delta \sigma_f$) した状態にある。

さて、供試体の変形が一定応力振幅のもとで載荷回数とともに増加する挙動はクリーカ現象と似ている（図6）。この表に着目して動的破壊を調べたのが図7である。図の縦軸はある載荷時に対する 1 サイクル当たりの残留ひずみの増加割合 δEDR である。図から、 $\delta \sigma$ が 1.6 kN/cm^2 以下では δEDR は N 回に対して減少し平衡状態に達しているが、 $\delta \sigma$ がこれ以上の値のものではある回数で急に増大し破壊に達することがわかる。この時の δEDR は 7.5% ($\delta \sigma = 2.05 \text{ kN/cm}^2$) ～ 12.5% ($\delta \sigma = 1.75 \text{ kN/cm}^2$) である。また、 δEDR が急に増大する傾向を示したのはほぼ $\delta \sigma > 13\%$ のものであった。図5の⑧印はこの δEDR の急増を破壊とみなす。 $\delta \sigma_0$ と N の $\delta \sigma_0 \sim N$ 関係を求める $N=20$ 回に対する結果を示したものである。

4. まとめ

供試体の変形量 $\delta \sigma$ 着目して破壊基準によって粘性土の動的強度を定義することとする。今後は振動解析、モデル実験、実スムの記録等から本破壊基準の妥当性を検討するつもりである。また、クリーカ着目して基準についての問題点があり、今後の課題としている。

(参考文献) ¹⁾ 大曾根田: 粘性土の動的強度について、地盤会議論文集 No.274 (1978). ²⁾ Dames & Moore: Studies to evaluate the seismic stability of the proposed Los Angeles Dam for the Department of Water and Power, the City of Los Angeles. (1973).

